

# Modulación por codificación de pulsos

Modulación y Procesamiento de Señales

Ernesto López

Pablo Zinemanas, Mauricio Ramos

{pzinemanas, mramos}@fing.edu.uy

Centro Universitario Regional Este

Sede Rocha

Tecnólogo en Telecomunicaciones

Curso 2016

# Modulación por codificación de pulsos

- ▶ La modulación por codificación de pulsos (*PCM*, Pulse Code Modulation) es una técnica para la **transmisión digital** de **mensajes analógicos**.
- ▶ Consiste en **digitalizar** la señal analógica (muestrear, cuantizar y codificar) y transmitir en **banda base** la secuencia de bits obtenida.
- ▶ La **motivación** para hacer esto en lugar de transmitir directamente la señal analógica con técnicas de transmisión analógicas está vinculada a las **ventajas de la transmisión digital**:
  - ▶ Alta inmunidad al ruido, distorsión e interferencias
  - ▶ Posibilidad de emplear **repetidores regenerativos** para la comunicación analógica a larga distancia.
- ▶ Limitaciones de PCM:
  - ▶ **Ruido de cuantización**, que aparece en la conversión analógica-digital.
  - ▶ **Incremento del ancho de banda** de la señal PCM en comparación con el ancho de banda de la señal analógica original.

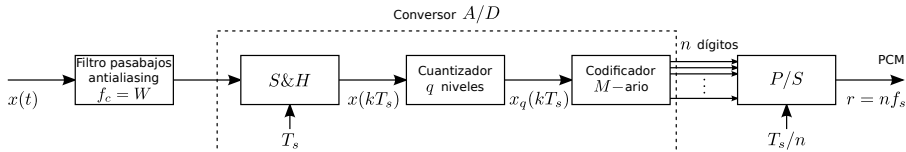
# Sistema PCM

- ▶ En el **transmisor**, la señal analógica a transmitir se digitaliza con un **conversor analógico a digital**, obteniendo una **secuencia de palabras M-arias**.
  - ▶ **Parámetros:**
    - ▶  $f_s$ : frecuencia de muestreo.
    - ▶  $n$ : largo de palabra del código (cantidad de dígitos por muestra).
    - ▶  $M$ : cantidad de símbolos del código (caso binario:  $M = 2$ )
- ▶ Los símbolos de cada palabra se envían en serie codificados como una señal **PAM digital**.
  - ▶ Al tratarse de una señal analógica codificada, la señal recibe el nombre de **PCM** en lugar de **PAM digital**.
- ▶ En el **receptor**, la señal PCM contaminada con ruido es reconstruida con un **receptor regenerativo**. Luego, se obtiene la señal analógica mediante un **conversor digital a analógico**.
  - ▶ El receptor regenerativo reconstruye la señal PCM con cierta **probabilidad de error de símbolos  $P_e$**  que depende de la  $(S/N)_R$ .
  - ▶ La señal analógica obtenida difiere de la original también debido al **ruido de cuantización** producido en la conversión **A/D**.

# Generación de señal PCM y reconstrucción analógica

## Generación de señal PCM

Diagrama de bloques del transmisor PCM



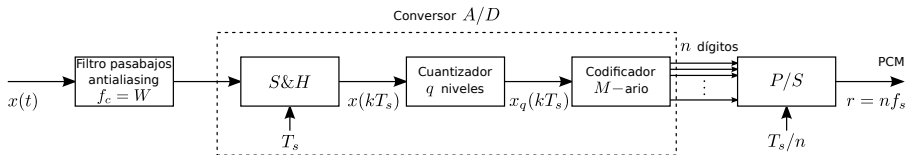
El mensaje que a transmitir es la señal analógica  $x(t)$ .

1. Filtro pasabajos antialiasing de frecuencia de corte  $W$ .
2. Convertor analógico a digital: muestrea la señal a  $f_s \geq 2W$  y codifica cada muestra con una palabra  $M$ -aria de  $n$  dígitos.
  - (a) Sistema de muestreo y retención de frecuencia de muestreo  $f_s \geq 2W$ .
  - (b) Cuantizador de  $q$  niveles.
  - (c) Codificador  $M$ -ario de  $n$  dígitos.

# Generación de señal PCM y reconstrucción analógica

## Generación de señal PCM

### Diagrama de bloques del transmisor PCM



3. Sistema **convertor de paralelo a serial**. La salida es una secuencia de símbolos correspondientes a los dígitos de cada palabra  $M$ -aria que representa cada muestra.

- ▶ Como la frecuencia de las muestras es  $f_s$  y cada muestra se codifica con una palabra de  $n$  símbolos, la **cadencia de símbolos** es

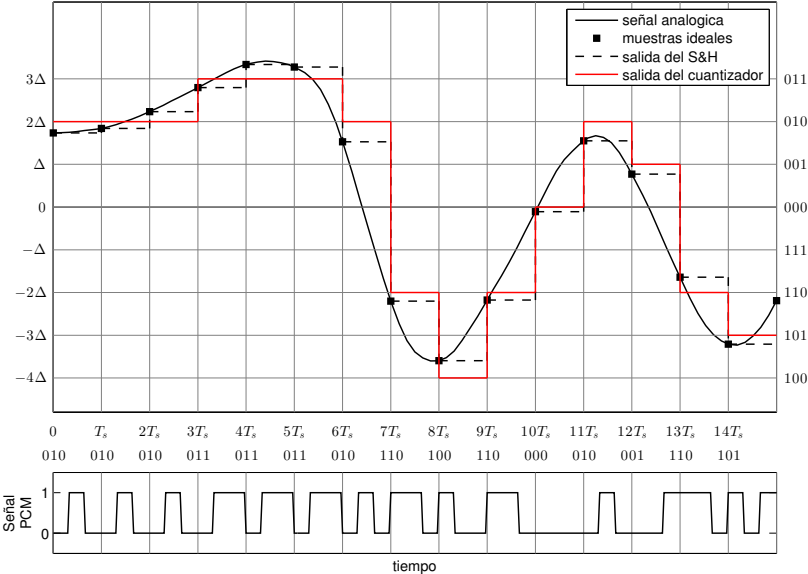
$$r = n f_s \quad (\text{baudios} \equiv \text{símbolos/s}).$$

- ▶  $[n]$  = símbolos/muestra

- ▶  $[f_s]$  = muestras/s

# Generación de señal PCM y reconstrucción analógica

Muestreo, cuantización y codificación ( $q = 8, M = 2, n = 3$ )



# Generación de señal PCM y reconstrucción analógica

## Tasa de señalización y ancho de banda de transmisión

- ▶ Se requiere un código con una cantidad de palabras suficiente para codificar los  $q$  niveles de cuantización,

$$M^n \geq q, \quad \Leftrightarrow \quad n \geq \log_M q$$

- ▶ En el caso de codificación binaria, el número de niveles es una potencia de 2,  $q = 2^n$ .
- ▶ Si el ancho de banda de la señal analógica es  $W$ , la frecuencia de muestreo tiene que cumplir el teorema de muestreo, y por lo tanto,

$$f_s \geq 2W.$$

- ▶ Además, la tasa de señalización de la señal PCM es

$$r = n f_s$$

# Generación de señal PCM y reconstrucción analógica

## Tasa de señalización y ancho de banda de transmisión

- ▶ Según la tasa de señalización de Nyquist, para que no se produzca ISI, el ancho de banda de transmisión en banda base tiene que cumplir que  $r \leq 2B_T$ , y por lo tanto,

$$B_T \geq \frac{1}{2}r = \frac{1}{2}nf_s \geq nW$$

- ▶ El ancho de banda de transmisión de la señal PCM es al menos  $n$  veces el ancho de banda de la señal analógica original.



# Generación de señal PCM y reconstrucción analógica

## Ejemplo: codificación de la señal telefónica

- ▶ En el bucle de abonados, la señal se transmite en banda base sin codificar, es decir, se transmite la forma de onda analógica tal como es capturada por el micrófono del teléfono.
- ▶ En la central telefónica, la señal de voz es digitalizada y codificada PCM.
- ▶ Los parámetros de la digitalización y codificación son los siguientes:
  - ▶ La señal se filtra pasabajos para limitarla en banda a  $W = 3.4$  kHz.
  - ▶ Se muestrea a frecuencia de muestreo  $f_s = 8$  kHz.
  - ▶ Las muestras se cuantizan y se codifican con un código binario de  $n = 8$  bits.
  - ▶ Esto implica que el número de niveles de cuantización es

$$q = 2^n = 2^8 = 256.$$

- ▶ Por lo tanto, la cadencia de bits de la señal PCM queda

$$r = n f_s = 8 \text{ bits/muestra} \times 8000 \text{ muestras/s} = 64 \text{ kbits/s}$$

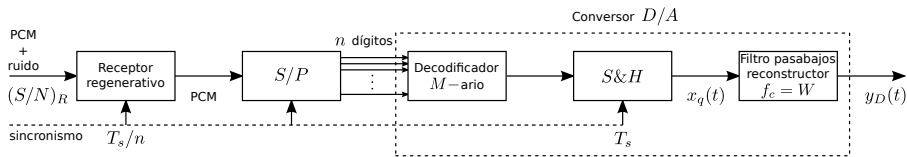
- ▶ El ancho de banda de transmisión es

$$B_T \geq \frac{1}{2} r = 32 \text{ kHz.}$$

# Generación de señal PCM y reconstrucción analógica

## Reconstrucción analógica a partir de la señal PCM

### Diagrama de bloques del receptor PCM



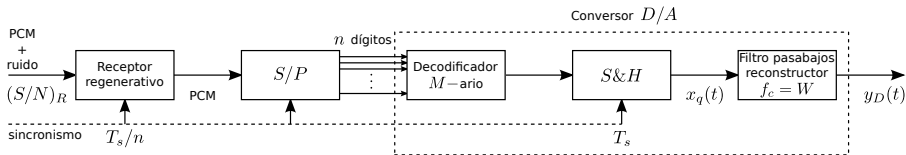
La señal recibida es una señal PCM distorsionada y contaminada con ruido, con cierta relación señal a ruido en la recepción de  $(S/N)_R$ .

1. El **receptor regenerativo** produce una onda PCM limpia y casi libre de errores si la  $(S/N)_R$  es suficientemente grande.
2. El sistema de **conversión de serie a paralelo** tiene como salida los dígitos en paralelo de cada palabra  $M$ -aria.

# Generación de señal PCM y reconstrucción analógica

## Reconstrucción analógica a partir de la señal PCM

Diagrama de bloques del receptor PCM

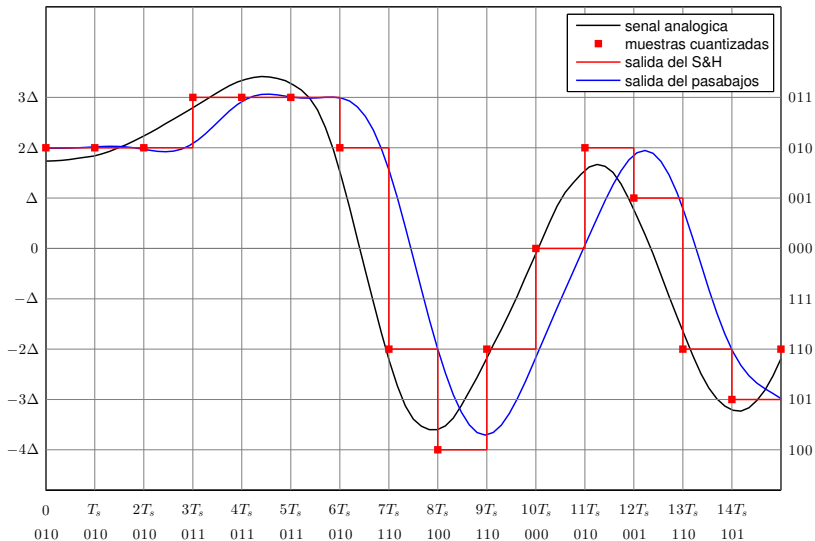


3. El **convertor D/A** convierte la señal digital en una señal analógica.
  - (a) El decodificador transforma la palabra del código en el nivel de amplitud correspondiente.
  - (b) El sistema de muestreo y retención crea una señal escalonada con los niveles de amplitud dados por el decodificador. Esta señal difiere de la señal del S&H del convertor A/D debido a la cuantización.
  - (c) El filtro pasabajos rector suaviza la señal escalonada para producir la salida en el destino  $y_D(t)$ .

# Generación de señal PCM y reconstrucción analógica

## Señales en las distintas etapas del receptor PCM

Muestreo, cuantización y codificación ( $q = 8, M = 2, n = 3$ )



# Análisis del ruido en el sistema PCM

- ▶ La señal analógica reconstruida en el receptor difiere de la señal analógica original debido a tres factores:
  1. El valor de las muestras a la entrada del conversor  $D/A$  está **cuantizado** y por lo tanto difiere de los valores de las muestras ideales con precisión infinita.
    - ▶ La consecuencia es la adición de **ruido de cuantización**.
  2. El **proceso de conversión digital a analógico no es ideal**. El sistema sistema ideal es el conversor de tiempo discreto a tiempo continuo (conversor  $D/C$ ).
    - ▶ En el proceso ideal, las muestras son convertidas a un tren de impulsos (deltas de dirac) que luego es filtrado con un pasabajos ideal.
    - ▶ En el proceso de conversión  $D/A$ , las muestras son convertidas a un tren de pulsos (salida del  $S\&H$ ) que luego es filtrado por un pasabajos no ideal.
  3. **Error de decodificación**: el receptor regenerativo comete errores de detección en los símbolos con cierta probabilidad de error  $P_e$ .
    - ▶ Esto se manifiesta en un error en la amplitud de la muestra con el símbolo erróneo.
- ▶ Se ignorará el efecto de la conversión  $D/A$  no ideal y se estudiará el efecto de los errores de cuantización y decodificación.

# Análisis del ruido en el sistema PCM

- ▶ Ignorando el efecto de la conversión  $D/A$  no ideal, el ruido que contamina una señal PCM recibida tiene dos orígenes:
  - ▶ **Ruido de cuantización:**
    - ▶ Es el ruido que aparece en la **conversión  $A/D$**  al truncar el valor de las muestras al nivel de cuantización mas cercano.
    - ▶ Este ruido es intrínseco de la representación digital y está presente incluso cuando la señal se transmite por un canal ideal sin ruido y distorsión.
  - ▶ **Ruido de decodificación:**
    - ▶ El ruido aditivo en el canal puede producir errores en la detección de los símbolos en el destino.
    - ▶ Un error en un bit produce una alteración en la palabra del código recibida, representando un nivel de cuantización distinto que el de la palabra original.
    - ▶ En consecuencia, se produce un error en la amplitud de la señal analógica reconstruida.
- ▶ La señal detectada en el receptor es
  - ▶  $x[k]$  es la señal original con muestreo ideal
  - ▶  $e_q[k]$  es el error de cuantización
  - ▶  $e_d[k]$  es el error de decodificación

$$\hat{x}[k] = x[k] + e_q[k] + e_d[k]$$

# Análisis del ruido de cuantización

- ▶ El objetivo es determinar la **relación señal a ruido de cuantización**.
- ▶ Para esto, es necesario determinar la **potencia del ruido de cuantización**.

## Ruido de cuantización

- ▶ El error de cuantización se define como

$$e_q[k] = x_q[k] - x[k]$$

- ▶  $x[k]$  es la muestra  $k$ -ésima sin cuantizar
- ▶  $x_q[k]$  es la muestra  $k$ -ésima cuantizada

- ▶ Se vio previamente que si  $\Delta$  es el intervalo entre pasos de cuantización sucesivos, se cumple que

$$-\frac{\Delta}{2} < e_q[k] \leq \frac{\Delta}{2}$$

- ▶ **Modelo del error de cuantización:**

- ▶ El error de cuantización  $e_q[k]$  es un **proceso aleatorio estacionario**, con muestras no correlacionadas entre si y no correlacionadas con las muestras de la señal original,  $x[k]$ .
- ▶ La distribución de probabilidad del error es **uniforme** en el intervalo  $(-\Delta/2, \Delta/2]$ .

# Análisis del ruido de cuantización

## Ruido de cuantización

- ▶ Bajo estas hipótesis, se vio que la varianza del ruido de cuantización es

$$\sigma_q^2 = \frac{\Delta^2}{12}$$

- ▶ Sean

- ▶  $q$ : cantidad de niveles de cuantización
- ▶  $X_m$ : escala completa del cuantizador

$$\Delta = \frac{2X_m}{q}$$

- ▶ La varianza del ruido de cuantización se puede expresar en función de los parámetros del conversor  $A/D$  como

$$\sigma_q^2 = \frac{X_m^2}{3q^2}$$

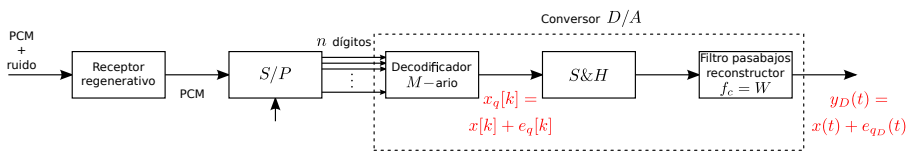
- ▶ Pero interesa calcular la potencia del ruido de cuantización en **tiempo continuo** (luego del conversor  $D/A$  del receptor) para comparar con la potencia de la señal analógica  $S_D$  el destino.



# Análisis del ruido de cuantización

## Ruido de cuantización

### Diagrama de bloques del receptor PCM



- ▶ Se llegó a que el ruido de cuantización  $e_q[k]$  tiene potencia

$$\sigma_q^2 = \frac{X_m^2}{3q^2}$$

- ▶ La potencia del ruido analógico  $e_{qD}(t)$  en el destino es (ver Apéndice)

$$N_D = \sigma_q^2 \frac{2W}{f_s}$$

- ▶ Sustituyendo  $\sigma_q^2$  en función de los parámetros del convertor, queda

$$N_D = \frac{X_m^2}{3q^2} \frac{2W}{f_s} \quad (1)$$

Decrece al incrementar la cantidad de bits  $q$  para representar cada muestra y al incrementar la frecuencia de muestreo.

# Análisis del ruido de cuantización

## Relación señal a ruido de cuantización en el destino

- ▶ La potencia de la señal original es

$$S_x \triangleq E\{x^2(t)\} = \lim_{T \rightarrow \infty} \frac{1}{T} \int_T x^2(t) dt.$$

- ▶ Asumiendo que el transmisor tiene ganancia que compensa la pérdida del canal, la potencia en el destino es  $S_D \approx S_x$ .
- ▶ Por lo tanto, la relación señal a ruido en el destino es

$$\left(\frac{S}{N}\right)_D = \frac{S_D}{N_D} \Rightarrow \left(\frac{S}{N}\right)_D = 3q^2 \frac{S_x}{X_m^2} \frac{f_s}{2W} \quad (2)$$

- ▶ En el caso usual en que el factor de escala es  $X_m = 1$  ( $|x(t)| \leq 1$ ) y que la frecuencia de muestreo se elige como  $f_s = 2W$ , la relación señal a ruido de cuantización queda

$$\left(\frac{S}{N}\right)_D = 3q^2 S_x.$$

# Análisis del ruido de cuantización

## Relación señal a ruido de cuantización en el destino

- ▶ Si se emplea un código binario de  $n$  bits para codificar las muestras, la cantidad de niveles de cuantización es  $q = 2^n$ .
- ▶ La relación señal a ruido expresada en decibeles queda

$$\begin{aligned}\left(\frac{S}{N}\right)_D &= 10 \log_{10}(3 \times 2^{2n} S_x) \\ &= 10 \log_{10}(3) + 20n \log_{10}(2) + 10 \log_{10}(S_x) \\ &\leq 4.8 + 6n \text{ dB.}\end{aligned}$$

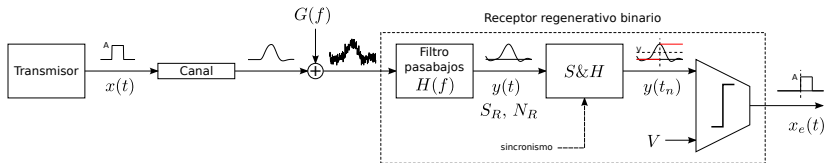
donde se tuvo en cuenta que si  $|x(t)| \leq 1$ ,  $S_x \leq 1$ .

- ▶ Este resultado indica que la relación señal a ruido de cuantización **se incrementa 6 dB por cada bit** que se agrega al código binario.
- ▶ En un sistema de telefonía básica, donde se emplea PCM con  $n = 8$  bits para codificar las muestras, se tiene que

$$\left(\frac{S}{N}\right)_D \leq 52.8 \text{ dB.}$$

# Análisis del ruido de decodificación

## Ruido de decodificación



- ▶ El ruido de decodificación es producido por los errores en la detección de los bits cometidos por el receptor regenerativo.
  - ▶ El receptor regenerativo comete errores en la detección de los bits (confunde un 0 por un 1 o viceversa) con probabilidad  $P_e$ .
  - ▶ La probabilidad de error  $P_e$  depende de la relación señal a ruido en predetección.
  - ▶ En el caso de ruido gaussiano, se vio que

$$P_e = \begin{cases} Q\left(\sqrt{\frac{1}{2}(S/N)_R}\right) & \text{Unipolar NRZ} \\ Q\left(\sqrt{(S/N)_R}\right) & \text{Polar NRZ} \end{cases}$$

# Análisis del ruido de decodificación

- ▶ Se quiere determinar la influencia del error de decodificación en la **relación señal a ruido en el destino**.
- ▶ Para esto, hay que calcular la **potencia del ruido de decodificación**.
- ▶ Se asumirán las siguientes hipótesis:
  - ▶ La señal PCM usa codificación binaria con palabras de  $n$  bits.
  - ▶ La probabilidad de error es pequeña, por ejemplo,  $P_e \approx 10^{-5}$ .

## Potencia del ruido de decodificación

- ▶ **Probabilidad de detectar una palabra con error:**
  - ▶ Teniendo en cuenta que la probabilidad de error de bit  $P_e$  es pequeña, se puede asumir que una palabra con error solo tendrá a lo sumo un bit erróneo.
    - ▶ La probabilidad de que una palabra se detecte con mas de un bit erróneo es despreciable.
  - ▶ La probabilidad de que una palabra se detecte con el bit  $m$ -ésimo erróneo y el resto de los bits sin error es

$$P(\text{palabra con error en bit } m - \text{ésimo}) = P_e(1 - P_e)^{n-1}$$

- ▶ Es la probabilidad de tener un error en el bit  $m$ -ésimo y no tener error (probabilidad  $1 - P_e$ ) en cada uno del resto de los bits.

# Análisis del ruido de decodificación

## Potencia del ruido de decodificación

- ▶ Probabilidad de detectar una palabra con error:
  - ▶ Si  $P_e$  es pequeño,  $1 - P_e \approx 1$  y por lo tanto,

$$P(\text{palabra con error en bit } m - \text{ésimo}) \approx P_e. \quad (3)$$

- ▶ Error en la amplitud causado por el error de un bit en la palabra
- ▶ Se considera una palabra binaria natural de  $n$  bits de la forma

$$b_{n-1}, b_{n-2}, \dots, b_1, b_0$$

- ▶ Si la palabra tiene un error en el bit  $m$ -ésimo, con  $0 \leq m \leq n - 1$ , la diferencia con la palabra sin error son  $2^m$  niveles de cuantización.
- ▶ El error cometido en la amplitud de la señal es

$$e_m = 2^m \Delta = 2^m \frac{2X_m}{q}. \quad (4)$$

Amplitud	Código binario
15 $\Delta$	1111
14 $\Delta$	1110
13 $\Delta$	1101
12 $\Delta$	1100
11 $\Delta$	1011
10 $\Delta$	1010
9 $\Delta$	1001
8 $\Delta$	1000
7 $\Delta$	0111
6 $\Delta$	0110
5 $\Delta$	0101
4 $\Delta$	0100
3 $\Delta$	0011
2 $\Delta$	0010
$\Delta$	0001
0	0000

# Análisis del ruido de decodificación

## Potencia del ruido de decodificación

- La potencia del error de decodificación  $\sigma_d^2$  es

$$\sigma_d^2 \triangleq E\{e_d^2[k]\} = \sum_{m=0}^{n-1} P(\text{palabra con error en bit } m - \text{ésimo})e_m^2 \quad (5)$$

$$\begin{aligned}\sigma_d^2 &\stackrel{(a)}{=} P_e \sum_{m=0}^{n-1} \left(2^m \frac{2X_m}{q}\right)^2 \\ &= \frac{4X_m^2 P_e}{q^2} \sum_{m=0}^{n-1} 4^m \\ &\stackrel{(b)}{=} \frac{4X_m^2 P_e}{q^2} \frac{4^n - 1}{3} \\ &= \frac{4X_m^2 P_e}{3} \frac{q^2 - 1}{q^2} \\ &\stackrel{(c)}{\approx} \frac{4X_m^2 P_e}{3}\end{aligned}$$

- (a) Se sustituyen los resultados de las ecuaciones 3 y 4 en 5.

- (b) Suma de serie geométrica

$$\sum_{m=0}^{n-1} r^k = \frac{r^n - 1}{r - 1}, \quad r \neq 1$$

- (c) La cantidad de niveles de cuantización  $q$  es grande, por lo que  $q \gg 1$

- Se llegó a que

$$\sigma_d^2 \approx \frac{4X_m^2 P_e}{3} \quad (6)$$

# Análisis del ruido de decodificación

## Potencia del ruido de decodificación

- ▶ Realizando el razonamiento análogo al realizado para el ruido de cuantización (ver Apéndice), se llega a que la potencia del ruido de decodificación analógico en detección es

$$N_D = \sigma_d^2 \frac{2W}{f_s}.$$

- ▶ Sustituyendo el resultado de la ecuación 6 resulta en

$$N_D = \frac{4X_m^2 P_e}{3} \frac{2W}{f_s}. \quad (7)$$



## Relación señal a ruido del sistema PCM

- ▶ El error de cuantización y el error de decodificación provienen de fuentes independientes, y por lo tanto, se pueden considerar **no correlacionados**.
- ▶ Esto implica que la potencia del ruido en detección es la suma de la potencia del ruido de cuantización y del ruido de decodificación, y usando las ecuaciones 1 y 7 queda

$$\begin{aligned}N_D &= (\sigma_q^2 + \sigma_d^2) \frac{2W}{f_s} \\ &= \left( \frac{X_m^2}{3q^2} + \frac{4X_m^2 P_e}{3} \right) \frac{2W}{f_s} \\ &= \frac{X_m^2}{3} \left( \frac{1}{q^2} + 4P_e \right) \frac{2W}{f_s}.\end{aligned}$$

- ▶ Notar que si

$P_e \ll 1/4q^2$  : predominio del ruido de cuantización

$P_e \gg 1/4q^2$  : predominio del ruido de decodificación

## Relación señal a ruido del sistema PCM

- ▶ Si el transmisor tiene ganancia que compensa la pérdida en el canal,  $S_D \approx S_x$ , y la relación señal a ruido en el destino es

$$\left(\frac{S}{N}\right)_D = \frac{S_x}{X_m^2} \left(\frac{3q^2}{1 + 4q^2 P_e}\right) \frac{f_s}{2W}. \quad (8)$$

- ▶ En el caso usual en que  $X_m = 1$  y la señal analógica se muestrea a la tasa de Nyquist, es decir  $f_s = 2W$ , la relación señal a ruido se reduce a

$$\left(\frac{S}{N}\right)_D = \frac{3q^2}{1 + 4q^2 P_e} S_x \quad (9)$$

# Relación señal a ruido del sistema PCM

## Umbral de error

- ▶ Para analizar la influencia de las dos fuentes de error se consideran los dos casos extremos siguientes

$$\left(\frac{S}{N}\right)_D = \begin{cases} 3q^2 S_x & P_e \ll 1/4q^2 \quad (\text{predominio cuantización}) \\ \frac{3}{4P_e} S_x & P_e \gg 1/4q^2 \quad (\text{predominio decodificación}) \end{cases}$$

- ▶ En la región de dominio del error de decodificación, la relación señal a ruido en el destino  $(S/N)_D$  depende de la probabilidad de error  $P_e$ , que a su vez depende de la relación señal a ruido recibida  $(S/N)_R$ .
  - ▶ Si la  $(S/N)_R$  decrece, crece la probabilidad de error de bits  $P_e$  del receptor y decrece  $(S/N)_D$ .
- ▶ En la región de dominio del error de cuantización, la relación señal a ruido en el destino  $(S/N)_D$  depende de la cantidad de niveles de cuantización  $q$  y no depende de la relación señal a ruido en la predetección  $(S/N)_R$ .

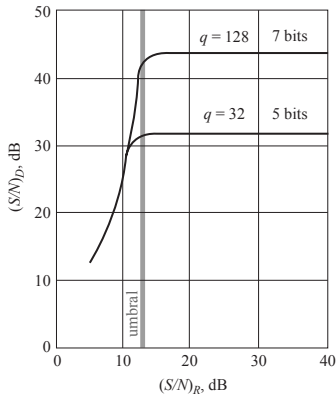
# Relación señal a ruido del sistema PCM

## ► Ejemplo:

- En el caso de señalización polar con ruido gaussiano,

$$P_e = Q\left(\sqrt{(S/N)_R}\right)$$

- En la figura se considera ese caso con  $S_x = 0.5$ .
- Se observa que para  $(S/N)_R$  menor a cierto **umbral**, la  $(S/N)_D$  se deteriora rápidamente.



- El **umbral de error** se define como el punto en donde el error de decodificación reduce la  $(S/N)_D$  en 1 dB.
- Operando por debajo del umbral, los errores de decodificación alteran la amplitud de la señal en gran magnitud, y si ocurren muy frecuentemente, deterioran tanto la forma de onda que el mensaje se hace irreconocible.

## Relación señal a ruido del sistema PCM

- ▶ Los sistemas de comunicación PCM se diseñan para operar en la región sobre el umbral, donde domina el error de cuantización y se cumple que  $P_e \ll 1/4q^2$ .
- ▶ En general, puede decirse que los errores de decodificación tienen un efecto despreciable si  $P_e \leq 10^{-5}$ .
- ▶ En el caso de codificación  $M$ -aria polar NRZ, la probabilidad de error es

$$P_e = 2 \left(1 - \frac{1}{M}\right) Q \left[ \sqrt{\frac{3}{M^2 - 1} \left(\frac{S}{N}\right)_R} \right]$$

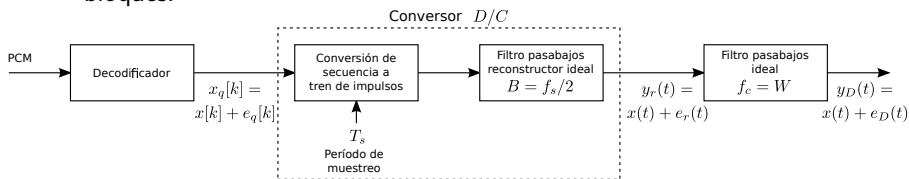
- ▶ Se puede demostrar que para que  $P_e \leq 10^{-5}$ , la  $(S/N)_R$  tiene que cumplir que

$$\left(\frac{S}{N}\right)_R \approx 6 (M^2 - 1)$$

- ▶ Si la  $(S/N)_R$  es inferior, el sistema opera por debajo del umbral de error y la forma de onda se destruye debido a los frecuentes errores de decodificación.

# Apéndice: potencia del ruido de cuantización en el destino

- ▶ Como moldeo matemático para el análisis de la potencia del ruido de cuantización en el destino, se asume el siguiente diagrama de bloques:



- ▶ En el modelo, se asume que el proceso de conversión  $D/A$  es ideal y por lo tanto, se reconstruye la señal en tiempo continuo con el convertor  $D/C$ .
- ▶ El segundo pasabajos es para eliminar el ruido  $e_r(t)$  fuera del ancho de banda del mensaje ( $W$ ).
  - ▶ Esto es solo un modelo para realizar el análisis. En la práctica alcanza con incluir un solo pasabajos de frecuencia de corte  $f_c = W$ , teniendo en cuenta que se debe cumplir que  $f_s/2 \geq W$ .
- ▶ El objetivo es calcular la potencia  $N_D$  de  $e_D(t)$  conociendo la potencia  $\sigma_q^2$  de  $e_q[k]$ .

# Apéndice: potencia del ruido de cuantización en el destino

## Densidad espectral de potencia de $e_r(t)$

- ▶ La señal en tiempo discreto reconstruida se puede expresar como

$$y_r(t) = x(t) + e_r(t) \quad \text{con} \quad e_r(t) = \sum_k e_q[k] \operatorname{sinc}\left(\frac{t - kT_s}{T_s}\right),$$

donde  $e_r(t)$  corresponde a la reconstrucción del ruido.

- ▶  $e_r(t)$  tiene la forma de una señal PAM,

$$e_r(t) = \sum_{k=-\infty}^{\infty} e_q[k] p(t - kT_s) \quad \text{con} \quad p(t) = \operatorname{sinc}\left(\frac{t}{T_s}\right)$$

- ▶ Por lo tanto, la densidad espectral de potencia es

$$G_{e_r}(f) = |P(f)|^2 \frac{1}{T_s} \sum_{k=-\infty}^{\infty} R_{e_q}[k] e^{-j2\pi f k T_s} \quad (10)$$

# Apéndice: potencia del ruido de cuantización en el destino

## Densidad espectral de potencia de $e_r(t)$

- ▶ Como el ruido de cuantización es blanco, de media nula y varianza  $\sigma_q^2$ , la autocorrelación es

$$R_{e_q}[k] = E\{e_q[n]e_q[n - k]\} = \sigma_q^2\delta[k]$$

- ▶ y la ecuación 10 se reduce a

$$G_{e_r}(f) = \frac{1}{T_s}|P(f)|^2\sigma_q^2 = f_s|P(f)|^2\sigma_q^2 \quad (11)$$

Seno cardinal

$$p(t) = \text{sinc}\left(\frac{t}{T_s}\right)$$

Espectro

$$P(f) = \frac{1}{f_s}\Pi\left(\frac{f}{f_s}\right)$$

- ▶ Sustituyendo  $P(f)$  en la ecuación 11 se llega a que

$$G_{e_r}(f) = \frac{\sigma_q^2}{f_s}\Pi\left(\frac{f}{f_s}\right)$$



# Apéndice: potencia del ruido de cuantización en el destino

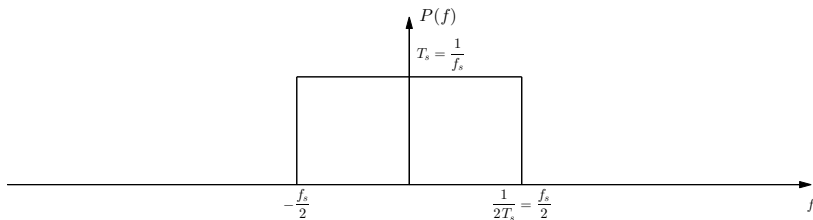
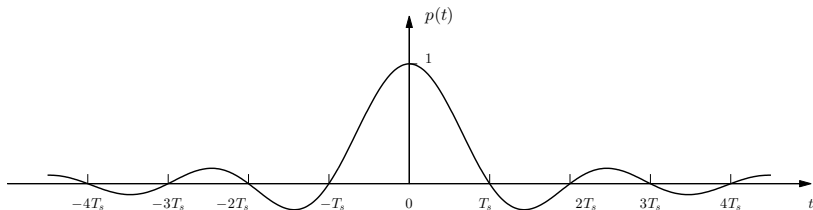
Densidad espectral de potencia de  $e_r(t)$

Seno cardinal

$$p(t) = \text{sinc} \left( \frac{t}{T_s} \right)$$

Espectro

$$P(f) = \frac{1}{f_s} \Pi \left( \frac{f}{f_s} \right)$$



# Apéndice: potencia del ruido de cuantización en el destino

## Cálculo de la potencia

- ▶ Finalmente, el ruido reconstruido se filtra con un pasabajos de frecuencia de corte  $f_c = W \leq f_s/2$  y ganancia unitaria, resultando en

$$G_{e_D}(f) = \frac{\sigma_q^2}{f_s} \Pi\left(\frac{f}{2W}\right)$$

- ▶ La potencia del ruido en el destino es

$$N_D = E\{e_D^2(t)\} = \int_{-\infty}^{\infty} G_{e_D}(f) df$$

**Observación:** teniendo en cuenta que la autocorrelación y la densidad espectral de potencia forman un par de transformadas de Fourier,

$$R_x(\tau) \triangleq E\{x(t)x(t-\tau)\} = \int_{-\infty}^{\infty} G_x(f)e^{j2\pi f\tau} df \quad \Rightarrow \quad R_x(0) = \int_{-\infty}^{\infty} G_x(f) df$$

# Apéndice: potencia del ruido de cuantización en el destino

## Cálculo de la potencia

- ▶ Finalmente, la potencia del ruido en el destino es

$$\begin{aligned} N_D &= \frac{\sigma_q^2}{f_s} \int_{-\infty}^{\infty} \Pi\left(\frac{f}{2W}\right) df \\ &= \frac{\sigma_q^2}{f_s} \int_{-W}^W 1 df \\ &= \frac{\sigma_q^2}{f_s} f \Big|_{-W}^W, \end{aligned}$$

- ▶ que resulta en

$$N_D = \sigma_q^2 \frac{2W}{f_s} \tag{12}$$

# Referencias I



Carlson, A. B. and Crilly, P. (2009).

*Communication Systems*, chapter 12.

McGraw-Hill Science/Engineering/Math, 5th edition.